ミューラ形電顕による電界放出形冷陰極の研究

Study of Field Emission Cathode with Müller Type Microscope

北川賢司*
Kenji Kitagawa

梨 本 柳 三**
Ryûzô Nashimoto

中島 皇** Sumera Nakajima

内 容 梗 概

ミューラ形電顕を用いて電界放出形冷陰極の製作条件ならびに不安定性の原因を詳細に検討した。球の排気はチタンゲッターイオンポンプを用いて $1\sim2\times10^{-10}$ mmHg の超高真空中で行なった。電界放出形冷陰極用タングステン針の先端の曲率半径は電解研摩後で約 $1\sim5\times10^{-6}$ cm である。通常,エミッション電流の安定する清浄W (タングステン) エミッタは 10^{-8} mmHg 以下の超高真空中で,しかも $2,300^\circ$ K 以上の高温でフラッシングすると得られる。エミッション電流はWエミッタのガス吸着により変化するが,特に O_2 ガスの影響が著しい。しかしエミッタを $2,000^\circ$ K 以上の高温でフラッシングすると再び安定なエミッションが得られることが実験的に確かめられた。

このような電界放出形冷陰極を2極管に応用した場合,そのエミッション電流はプレートの構造や動作電圧 によっても著しく変化する。

1. 緒 言

金属表面に高電界を印加すると、冷状態でも金属表面から電子が放出される。この現象は電界放出と呼ばれ、1897年 R. W. Wood氏(1)によってはじめて報告された。その後、電界放出を新しい電子源として利用しようとする試みがDyke氏ら(2)によって行なわれ、ようやく最近実用に供する陰極ができるようになった。しかし、この陰極が今日ようやく実用化の段階に達してきた蔭にはAlpert氏ら(3)によって研究され、改良されてきた超高真空技術の長足な発展があることを見のがすわけにはゆかない。国内でも MgO 冷陰極(4)の登場に刺激されて各方面で研究が始められている(5)。しかし実用化に際しては、常に均一な特性を有するエミッタを製作しなければならないとか、超高真空を維持しなくてはならないなどの問題がある。このような電界放出形冷陰極はわれわれが従来行なってきたミューラ形電顕(6)の技術をそのまま応用できる利点があるので、これを基礎にして本研究を開始した。以下にその結果について報告する。

2. 実 験 方 法

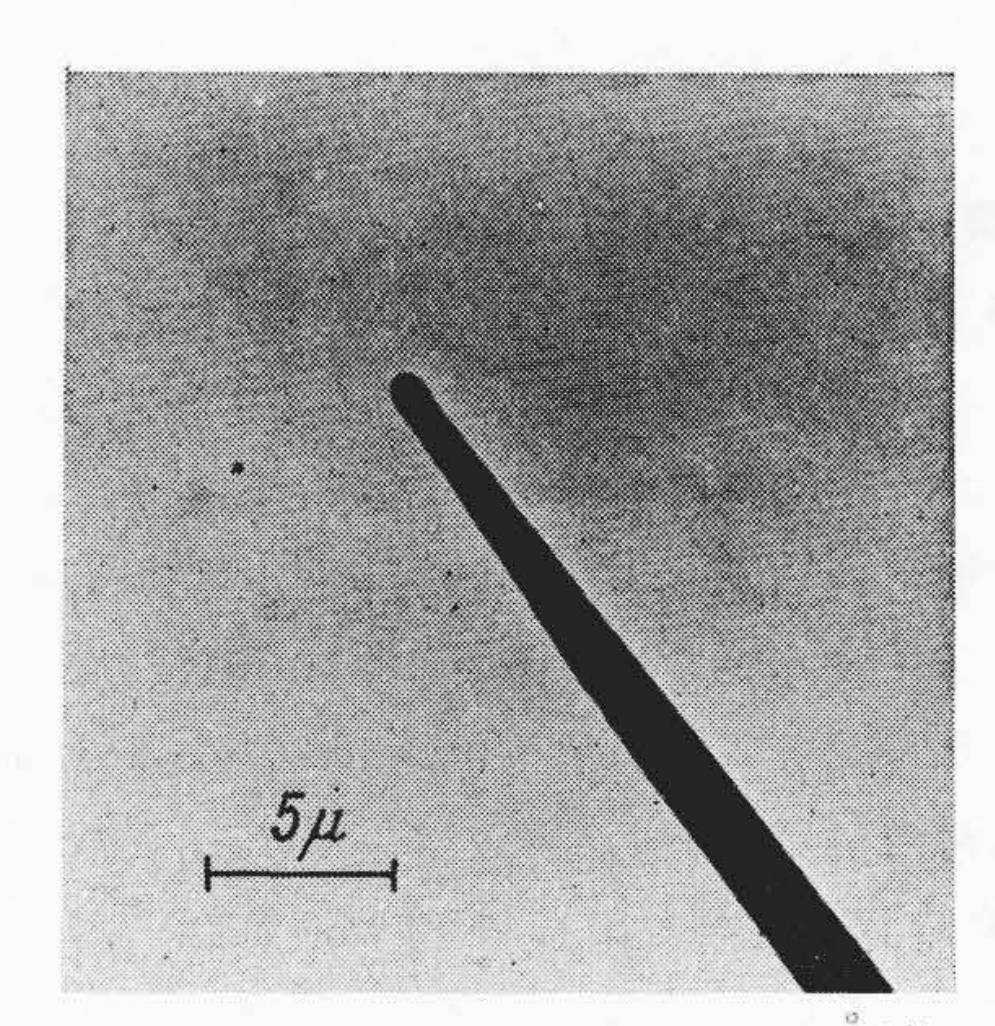
2.1 電界放出形冷陰極用針の製作

電界放出は 10^7V/cm 程度の電界強度で起きるが,10 kV 以下で動作するカソードを製作するにはどの程度の曲率半径を有する針を用意すればよいかを概算すると,針の曲率半径 $r \approx 10^{-4} \sim 10^{-5} \text{cm}$ となる。われわれは陰極用針として高温強度が大きいWを用いたが,W針は $0.1 \text{ mm}\phi$ のW線を $5 \sim 10\%$ の NaOH 溶液中で $5 \sim 10 \text{ V}$ の交流電圧を印加して電解研摩により製作した。陰極は 0.21ϕ のWフィラメントの頂部にW針を溶接し,再度針先が頂部より $1.0 \pm 0.2 \text{ mm}$ 突き出るように電解研摩して製作した。電解研摩後のW針は真空中で高温でフラッシングされるとW原子の表面移動 (つ)により半球状のWエミッタに成形される。第1図がその一例である。なお,実験に用いたWは通常の真空管ヒータ用Wである。

2.2 実験球の構造

(1) ミューラ形電顕球の構造

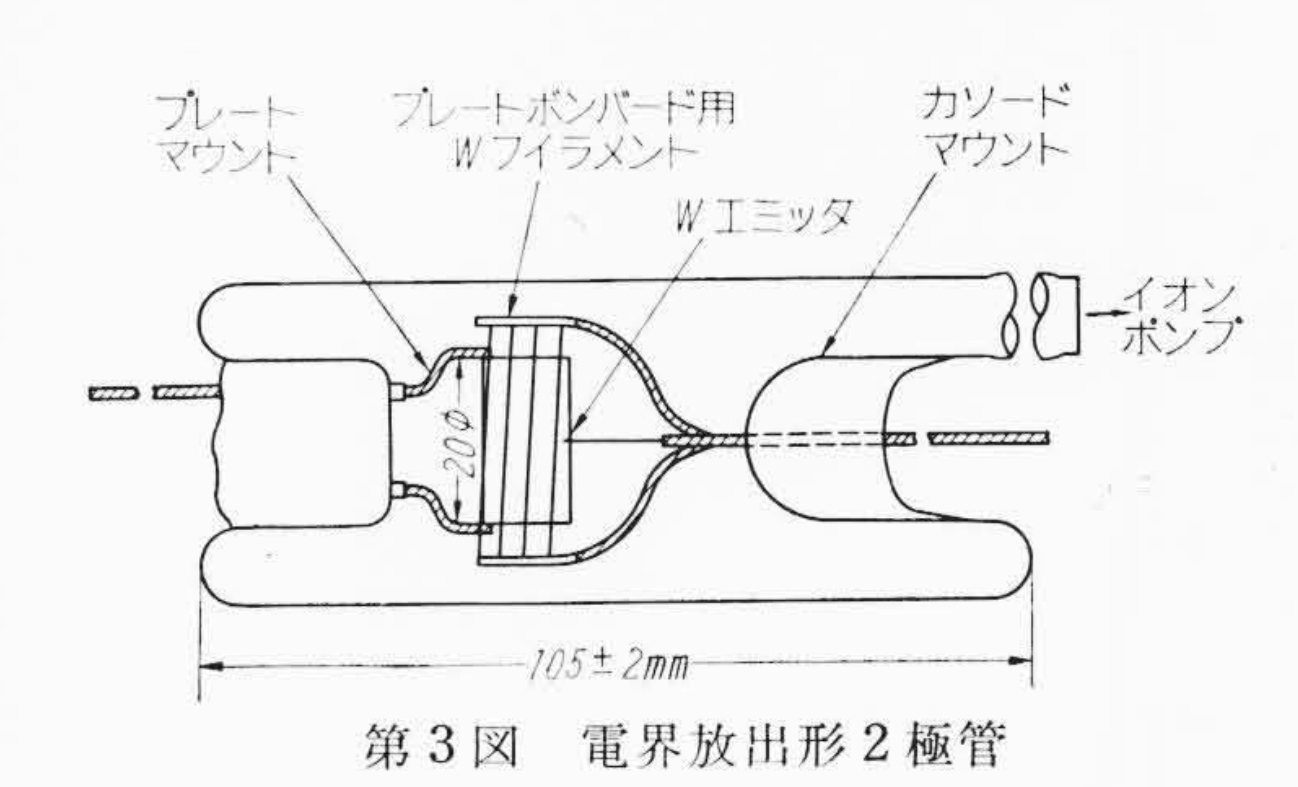
実験に用いたミューラ形電顕球の構造は**第2図**に示したとおりで、バルブにはJ76Mレーダー用ブラウン管を使用し、けい光体は(ZnCd)Sを主成分としたP4を用いた。陽極にはアカダック塗布面を利用し、メタルバックを施した。陰極には前項 2.1 の方法



第 1 図 Wエミッタ $(r=3,000 \, \text{Å}^{*1})$ *1 ミューラの半実験式(*), $r=0.85\phi^{-2} \cdot V^{5/4} \, \text{Å}$ (ただし V は $10 \, \mu \text{A}$ のエミッション電流を与える電圧, ϕ はエミッタの仕事関数)より計算すると,

r=2,400A となる。上記の値は写真から計算した。

サカダック陽極 (メタルバック) WIEッタ # 気口 第2図ミューラ形電顕球



で製作したものを用いた。

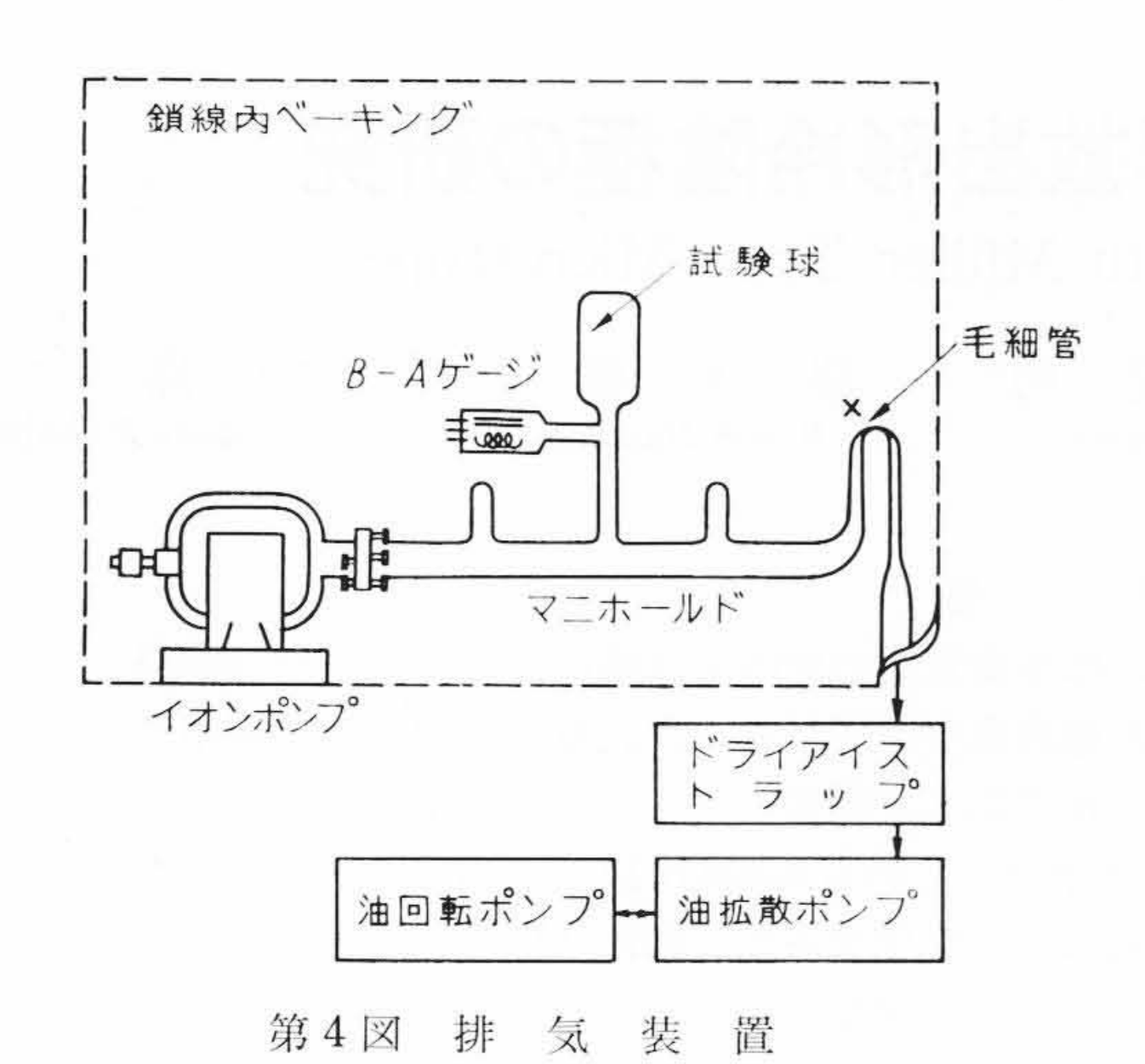
(2) 電界放出形 2 極管の構造

試作した電界放出形2極管の構造を示すと第3図のようになる。すなわち、陰極には2.1の方法で製作したものを用い、純ニ

^{*} 日立製作所茂原工場 工博

^{**} 日立製作所茂原工場

日



ッケル(ほかに W, Ti も試作した)を使用した茶筒形(円筒形も 実験した)プレートと組み合わせた。また排気中にプレートの脱 ガスを十分に行なうためにプレートボンバード用のWフィラメン トを用意した。

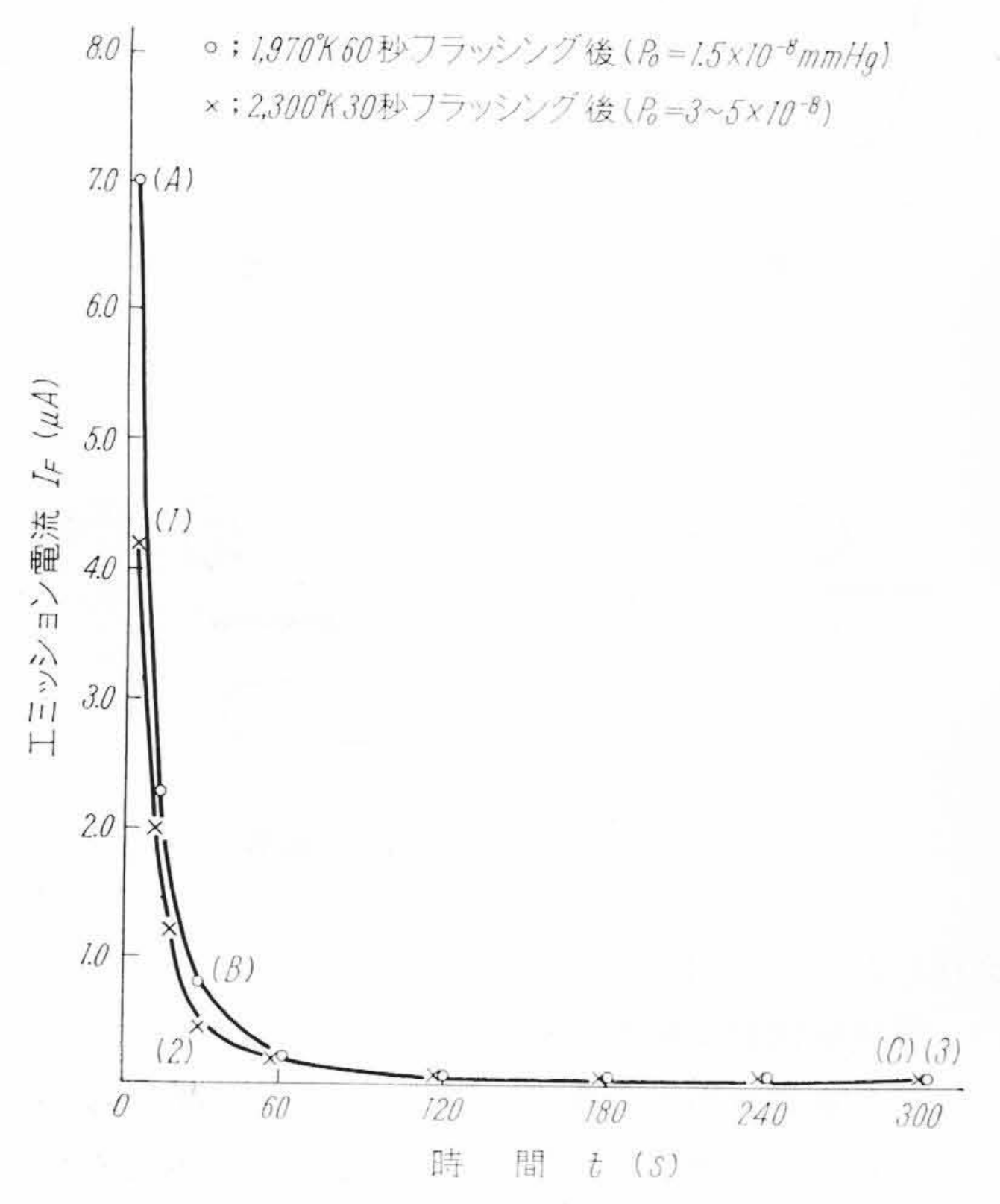
2.3 超高真空装置と実験球の排気

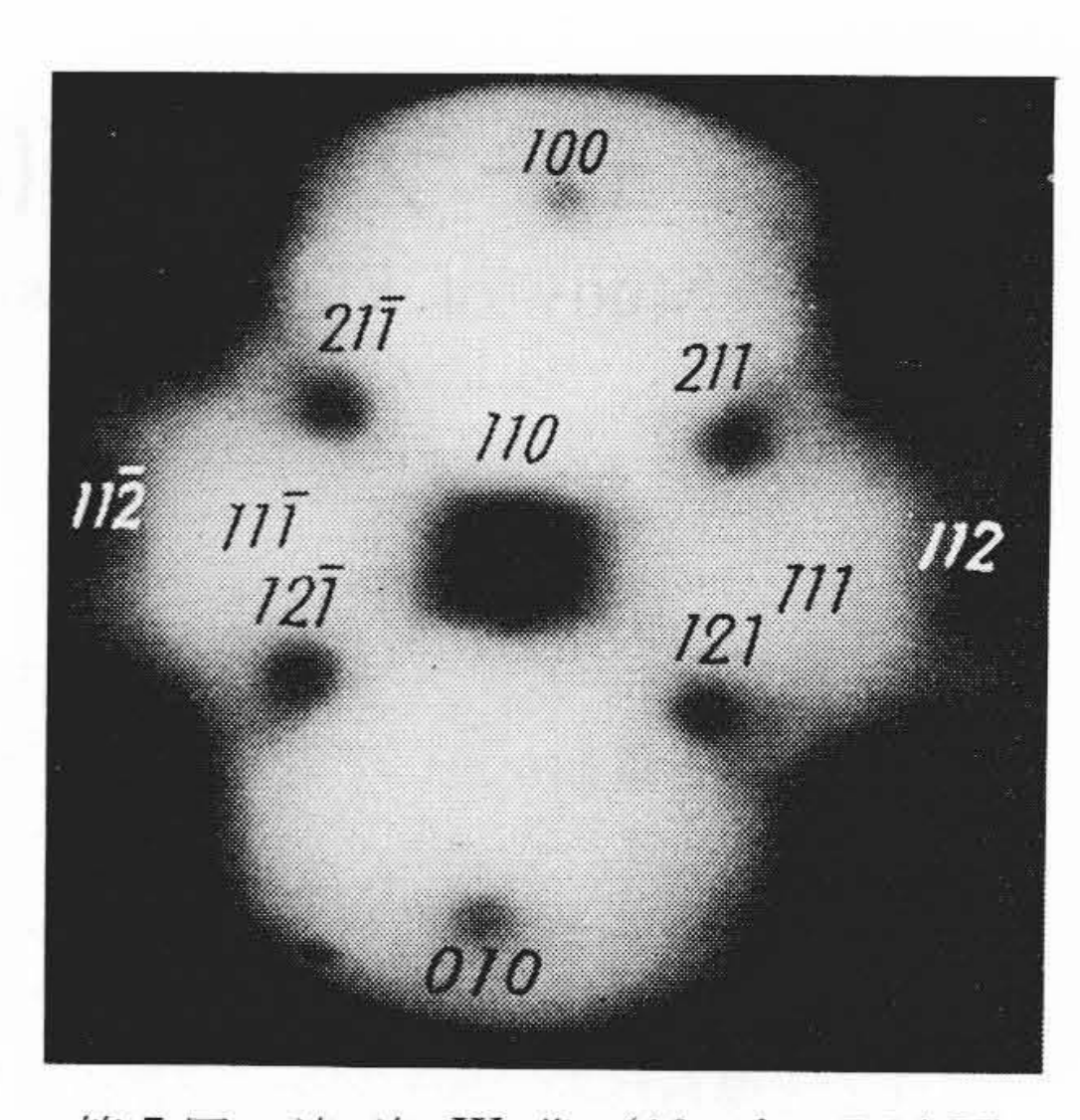
実験球, B-A ゲージ, イオンポンプを含む排気系を 第4回 に示 す。イオンポンプは350℃までベーキング可能なため、イオンポン プ,マニホールドを同時にベーキングできるようにした(第4図の 鎖線内)。まず通常の油拡散ポンプとトラップで排気系を300~320℃ でベーキングして管内圧力が $10^{-5} \sim 10^{-6}$ mmHg になるまで排気し (この間約2~5時間), 次いでイオンポンプを稼動させ、油拡散ポ ンプを含む通常の排気系を毛細管の部分から切り離す。このような 状態で10~20時間(必要に応じて40~50時間)バルブの脱ガス、 電極の脱ガスを行ない、ベーキングした状態で 10-8 mmHg 以下の 超高真空になるまで排気した。またWフィラメントの脱ガス、W針 の成形は 10⁻⁸ mmHg 以下の超高真空中で行なった。真空度の測定 にはB-A ゲージを用いた。

3. 実 験 結 果

3.1 清浄タングステン像

清浄 W 像は W 針の成形を 10⁻⁸ mmHg 以下の超高真空中で行な い,Wエミッタを2,300°K以上の温度でフラッシングすると得られ



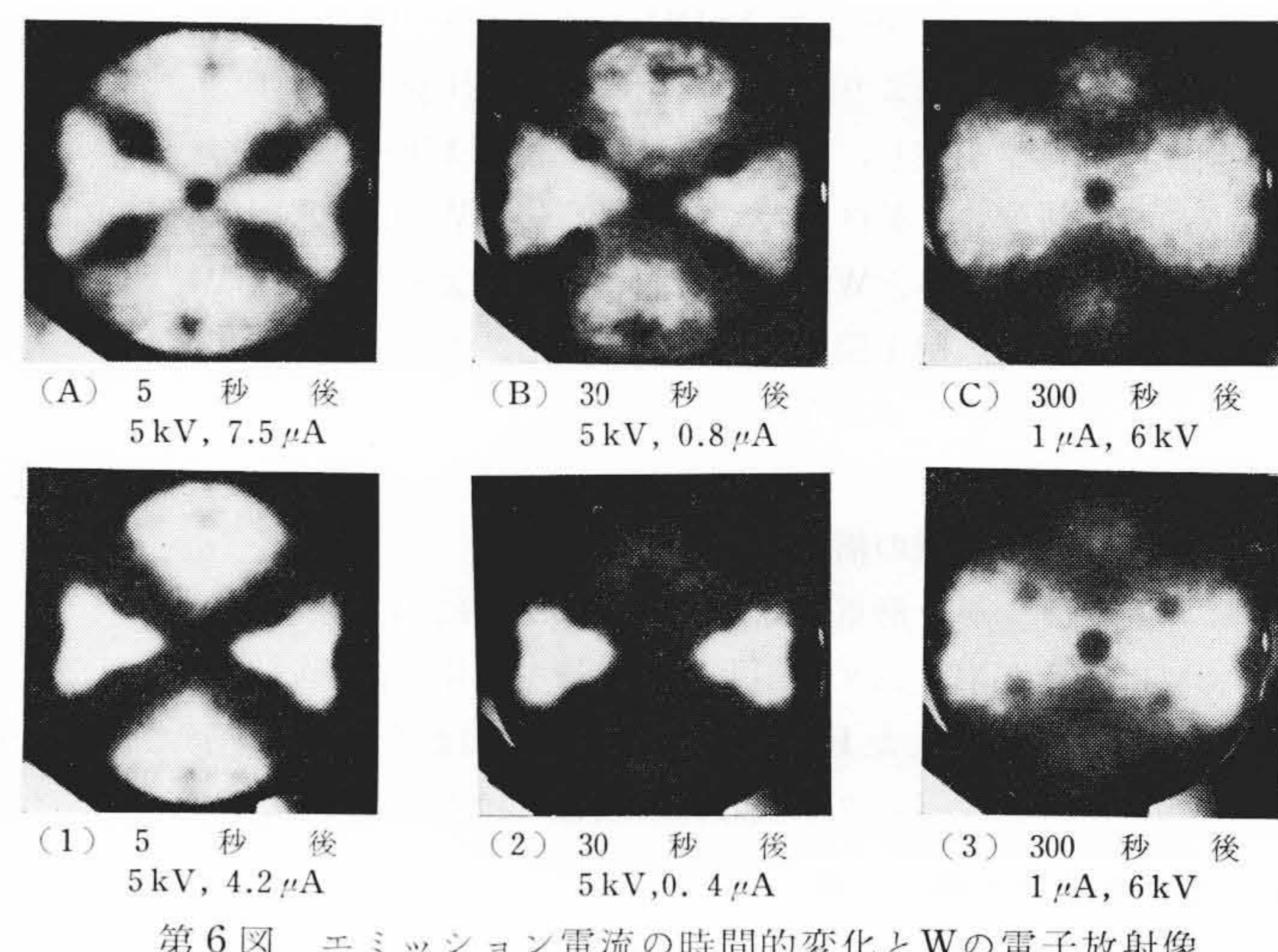


第5図 清 浄 W 像 (10 μA, 5.2 kV) 図中に記入した数字は面指数を示す。概略の倍率18万倍*2 *2 ミューラ形電顕で得られた電子放射像の倍率は $M=R/kr^{(9)}$ で計算される。 Kは1.5<K<2.0 の範囲にはいる係数であるから、K=1.5とするとM= R/1.5rにより求められる。今、われわれの実験球で R=5cm、r=1.800A であるから $M=1.8\times10^5$ 倍となる。

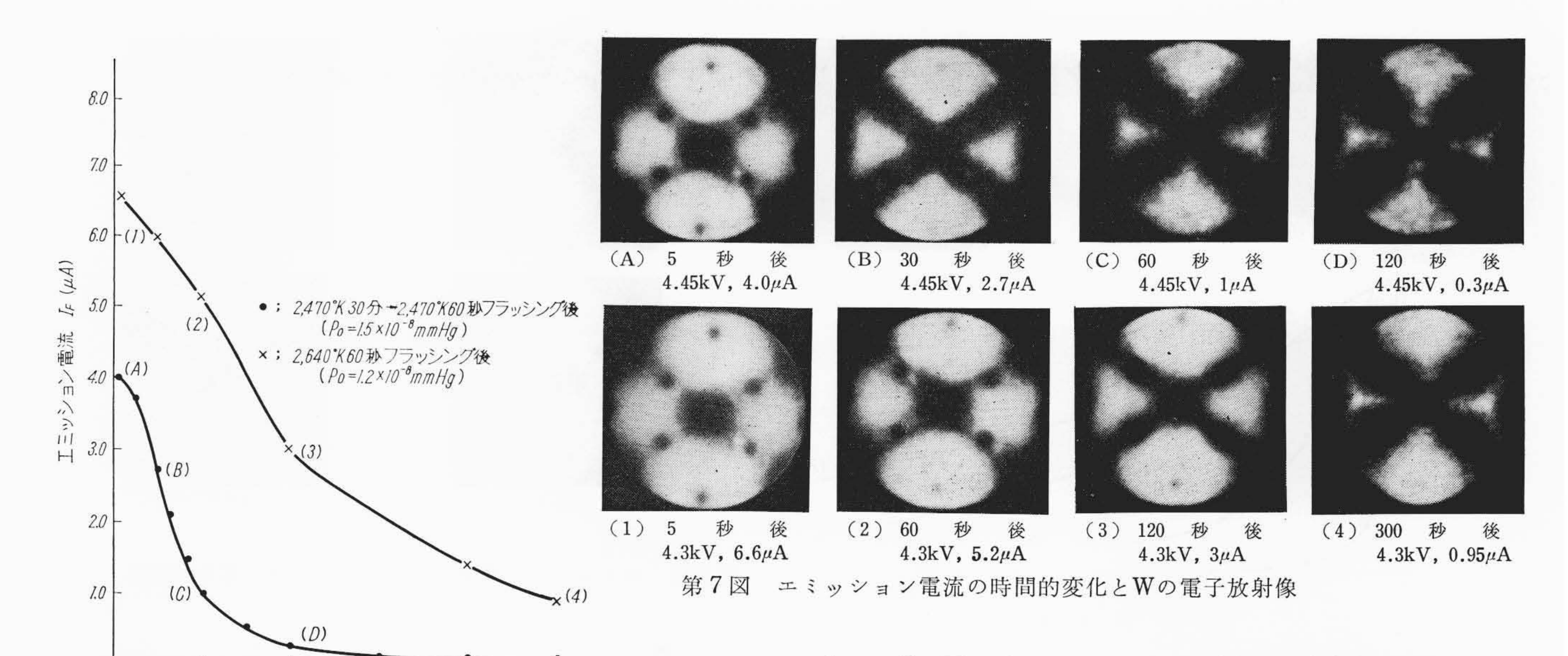
るが, 第5図がその一例である。Benjamin, Jenkins⁽⁸⁾, Miiller⁽⁹⁾, Gomer⁽¹⁰⁾ などが得ている W像とよく一致している。第5図に記入 した数字は電子放射像の幾何学的対称性を考慮して決定した面指数 を示す。W像は(100), (110), (211), (111)面などの比較的低指数 の結晶面より成っている。中央の(110)面が長方形をした一番大き い暗部としてみられ、そのまわりに(211)、(121)、(211)、(121)面 の同形のやや大きい丸い結晶面が暗部としてみられる。(100), (010)面は小さい丸い暗部としてみられ, (111)面は(211), (121), (112) 面でかこまれた三角状の明るい結晶面である。 電子放出電流 は電界強度Fと金属の仕事関数 ϕ に強く依存するので、けい光面に 現われた電子放射像の明暗はFと ϕ の変化を示すと考えられる。こ こでWエミッタを 2,300°K 以上でフラッシングした直後のエミッタ にかかる F は均一と考えられるから、上述の電子放射像の明暗は主 としてゆの変化によるものと考えられる。

3.2 W エミッタの成形条件とエミッション電流の時間的変化 ならびに W の電子放射像との関係

ミューラ形電顕球とB-Aゲージとからなる実験球を2.3にしたが って排気し、排気中にエミッタを最高温度 1,800°K (Wエミッタの温 度の測定には光高温計を使用した)で約30分間加熱したのち、管内真 空度を $1\sim2\times10^{-8}$ mmHg に保ち, Wエミッタの成形条件とエミッシ ョン電流の時間的変化ならびにWの電子放射像の変化について観察 した。第6図は管内真空度が $\sim 10^{-8}$ mmHgでWエミッタを2,300°K 以下で短時間フラッシングした場合のエミッション電流の時間的変



第6図 エミッション電流の時間的変化とWの電子放射像



300

60

120

時 間 t (S)

180

0

化とW像の変化の一例を示す。まず1,790°K 60 秒間フラッシングし た場合であるが、エミッション電流は時間の経過とともに著しく減 衰し, それにともなって電子放射像も著しく変化している。 すなわ ち, フラッシング直後の電子放射像(第6図(A))では(100), (010) 面のまわりや(111), (111)面が比較的明るく, (110)面がやや小さ い丸い暗部, (211), (121), (211), (121)面が大きい丸い暗部とし てみられるが、時間の経過とともに明部が減少し、特に(111)、 (111), (100), (010) 面のまわりがわずかに明部として認められる ようになる。第6図(B)がその結果である。300秒経過後もほとん ど電子放射像の様子は変わらないが、1 μA のエミッション電流を与 える電子放射像 (第6図(C)) で観察すると (110) 面のやや小さい 丸い暗部の形状はフラッシング直後とほとんど変わらない。しかし (211), (121), (211), (121)面はごくわずかに暗部としてみられ る。(100), (010)面のまわりもフラッシング直後に比べて非常に暗 くなっている。しかし(111), (111)面のまわりは逆に明るくなって いるが、全体的に像がぼけている。この関係はエミッタのフラッシ ング温度を 2,200°K に上げても短時間フラッシングやフラッシング 中の真空度が悪い $(10^{-8} \sim 10^{-7} \, \text{mmHg})$ 場合にはほとんど変らない。 さらにエミッタのフラッシング温度を高くしてゆくとフラッシング 直後では、(111)、(111)、(100)、(010)面のまわりが非常に明るい 電子放射像が得られる。第6図(1)がそれである。しかし時間の経 過とともに(111), (111)面が非常に明るいパターンに変わり (第6 図(2)), (111), (111) 面がスポット状になる。第6図(3)は300 秒経過後の 1 μA エミッション電流を与える電子放射像であるが、 (110) 面が丸い暗部, (121), (211), (121), (211) 面がやや小さい 丸い暗部として明確に認められる(第6図(C)と比較)。しかしこの ような場合でもエミッション電流の時間的変化は 1,970°K でフラッ シングした場合とほとんど変わらず,60秒後でほとんどエミッショ ン電流は安定する。第6図に示したエミッション電流の変化や電子 放射像の変化はさらにエミッタのフラッシング温度を上げてもフラ ッシング中の真空度が悪く $(10^{-8} \sim 10^{-7} \text{mmHg})$, しかも短時間フラ ッシングの場合には再現される。また、2,300°K以下の温度で数十分 加熱(たとえば 1,800°K でさらにエミッタを 30 分間加熱)しても, フラッシング温度に応じて第6図にみられるようなエミッション電 流の変化や電子放射像の変化が得られる。ところが 2,300°K 以上の 温度でエミッタを長時間(たとえば 2,470°K 30分) 加熱すると 第7 図に示すような電子放射像の変化、エミッション電流の変化が得ら

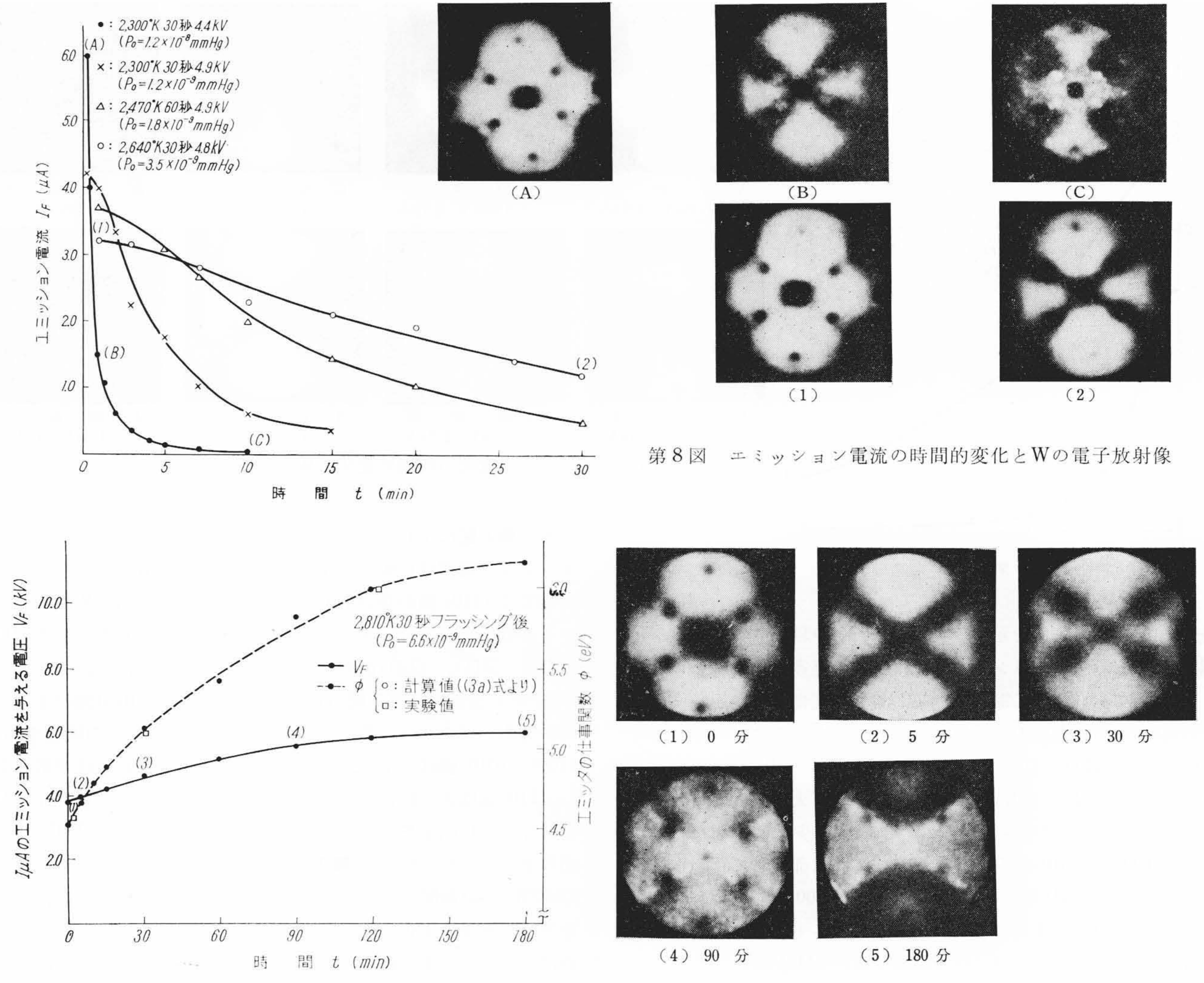
れる。第6図に示したエミッション電流の経時変化と比較するとエ ミッション電流は比較的かんまんに減衰する。W像もフラッシング 直後では (110) 面が長方形の暗部としてみられる清浄W像になって いるが(第7図(A)), エミッション電流の減衰にしたがって(211), (121), (211), (121)面の暗部が次第に拡大され, いわゆるXパタ $- \gamma^{(11)}$ に変わる (第7図(B))。次いで(100), (010)面のまわりが 特に明るいパターンに変わる。第7図(\mathbb{C}),(\mathbb{D})がその結果である。 (100), (010)面はスポット状に認められ、そのまわりは非常に明る い。(110)面は丸い暗部としてみられ、エッジが明るい。(211)、(121)、 (211), (121)面もやや大きい暗部としてみられるが, (111), (111) 面のまわりはやや暗い。 第7図 (1)~(4)はW エミッタをさらに 2,640°K で 60 秒間フラッシングした場合のエミッション電流の変化 ならびにW像の変化を示したものであるが、エミッション電流の減 衰はさらにかんまんになっていることがわかる。W像も清浄W像か ら次第に明部の範囲が減少したXパターンに変化しているのがわか る。

このように \sim 10-8mmHg の超高真空中で 2,300°K 以上の温度で成形すると清浄W像が得られ、エミッション電流も安定してくることが明らかになったが、次いでエミッション電流に及ぼすエミッタの成形条件ならびに管内真空度との対応を明らかにするため排気中に 1,800°K 15分 \rightarrow 2,140°K 15分のスケジュールで加熱成形したWエミッタのエミッション電流の変化とW像の変化を観察した。第8図がその結果であるが、フラッシング温度が同じであれば管内真空度に、管内真空度が同じであれば、フラッシング温度が高いほどエミッション電流が安定する。なお動作中の真空度はエミッタのフラッシング時の真空度とほとんど変わらない。もちろん、動作時間の経過とともに真空度が劣化することもない。

3.3 電界放出形冷陰極のエミッション減衰に対するガスの影響 (1) 管内残留ガスの影響

エミッション電流の安定性はWエミッタの成形条件や動作中の真空度によって左右されるが、さらに電界放出形冷陰極の不安定性の原因について検討した結果を以下に述べる。第9図はミューラ形電顕球のエミッション電流の変化を $1 \mu A$ のエミッション電流を与える電圧の変化で示したものであるが、電圧は時間の経過とともに次第に増大する。これをW像の変化で観察してみると、フラッシング直後の清浄 W 像から時間の経過とともに(100)、(010)面や(111)、(11 $\bar{1}$)面が特に明るいパターンに変わり、電圧が飽和するにしたがって(100)、(010)面のまわりが暗くなり、(110)面のエッジが非常に明るくなり、(211)、(121)、(21 $\bar{1}$)、(121)面のエッジが線状に非常に明るいパターンになる。前述のように、

日

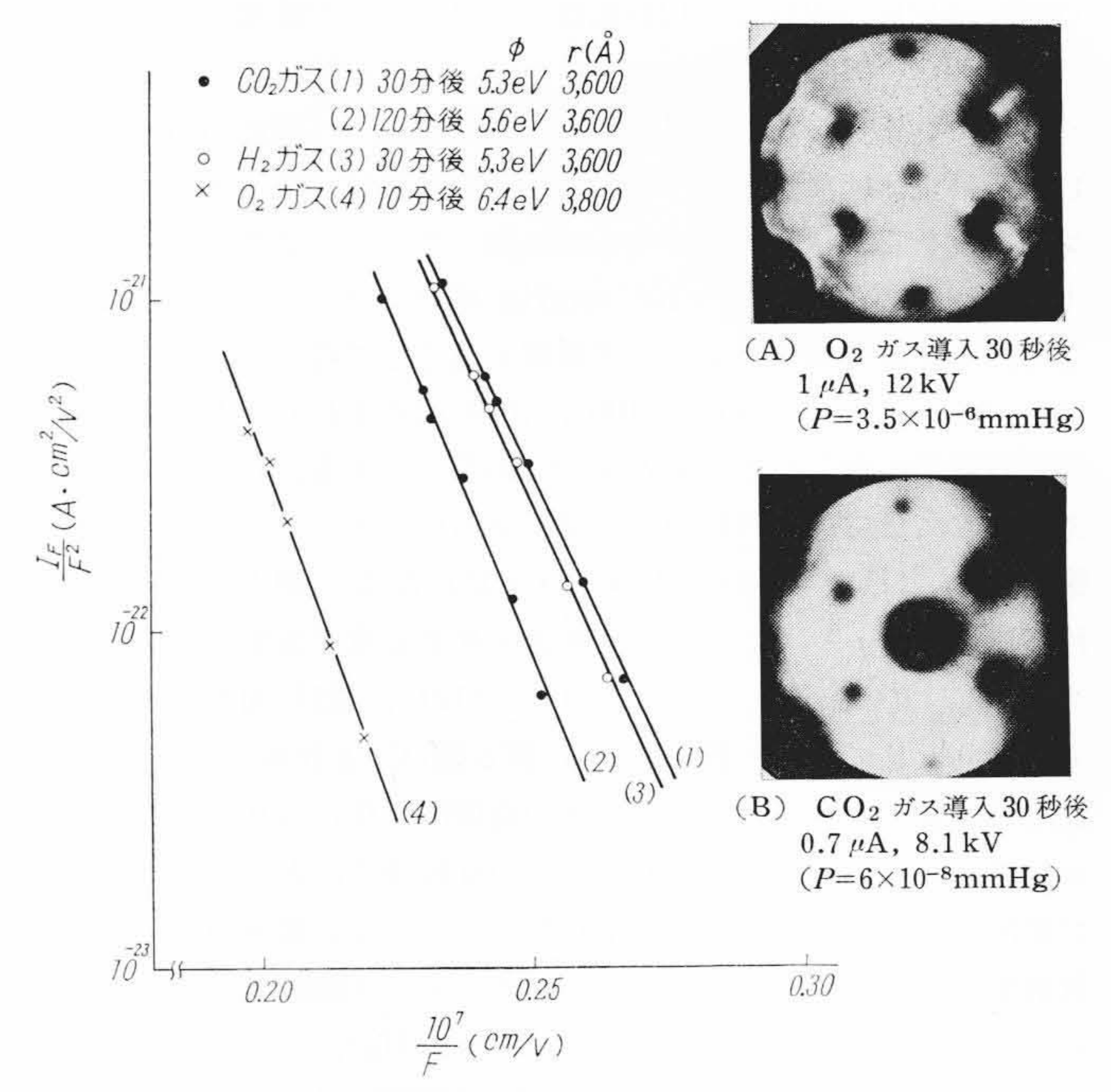


第9図 エミッション電流の時間的変化とWの電子放射像

電界放出電流は F と ϕ に強く依存しているので W 像の大きさや結晶面の位置が変わらないことから F は一定と考えてフラッシング直後,30 分経過後,120 分経過後の電圧電流特性の直線の傾斜から ϕ の変化を計算で求めてみるとそれぞれ ϕ (0′) = 4.6 eV, ϕ (30′) = 5.1 eV, ϕ (120′) = 5.9 eV となる。このようなことから ϕ の変化はW エミッタ表面への管内残留ガスの吸着によって大きく影響されると考えられる。

(2) 各種ガスの影響

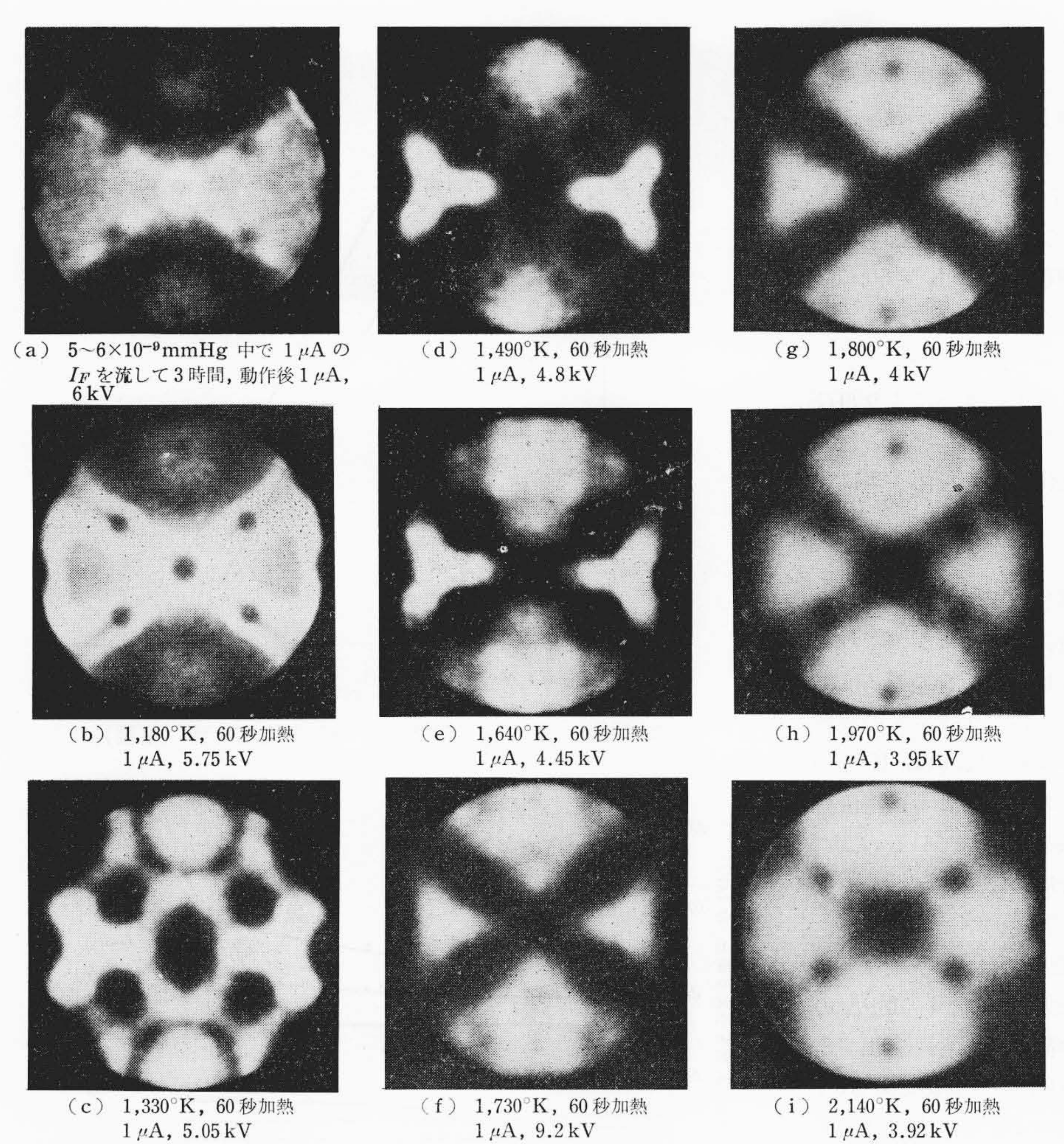
エミッション電流に及ぼす各種ガスの影響を調べるため, O₂, H₂, CO₂のガスアンプルを製作し、ガス吸着によるWエミッタの φ の変化を調べてみた。 第10 図 はガス導入後のミューラ形電顕 球の電圧電流特性であるが、直線の傾斜から求めた φも同時に示 した。 p の変化に及ぼすガスの影響は O2 ガスが最も大きい。 第 10 図 (A)は O_2 ガスが吸着したW像であるが、 ϕ が著しく高くな っているのがわかる(第9図の90分経過後のパターンと比較)。 Wの O_2 ガスによる ϕ の変化は $\theta=1$ の場合(θ ; 吸着分子の被覆 度)約 2 eV 高くなるといわれている(12)が、その結果とよく一致 している。一方、CO2ガスはO2ガスほど毒作用は強くない。W像 は(111), (111)面や(100), (010)面のまわりが明るいパターンに 変わる。第10図(B)がその結果である。さらに H2 ガスの影響も 調べたが、ガス導入後のW像は CO2 ガスを吸着した場合と同様、 (111), (111)面や(100), (010)面のまわりが明るいパターンに変 わった。 $W \circ H_2$ ガスによる ϕ の変化も $\theta=1$ の場合約 0.6 eV 増 加するといわれている(12)が、この結果ともよく一致している。



第10図 ミューラ形電顕球の電圧電流特性 (ガス吸着の影響)

3.4 Wエミッタの再生条件と電子放射像

エミッション電流はガス吸着により著しく変化することが明らかになってきたが、再び安定に動作する清浄Wエミッタを得るためのフラッシング条件を見いだすためミューラ形電顕によりW像の変化



第11図 Wエミッタの再生条件と電子放射像(室温) r=1,570 Å

の様子を観察してみた。第11図(a)はミューラ形電顕球を $5\sim6\times$ 10^{-9} mmHg 中で 1μ Aのエミッション電流をとりながら3時間動作させたのちのW像である。(100),(010)面がスポット状にみとめられ,そのまわりがごくわずかに明るい。(111),(11 $\overline{1}$)面もやや暗い

が、(110)面はスポット状にやや暗く、 そのまわりが非常に明るい。(211), (121), (211), (121) 面はスポット状に 見られるが、そのエッジが線状に非常 に明るい。 第11図(b)はエミッタを 1,180°K で 60 秒間加熱したのちのW像で あるが、(110)面がやや大きい丸い暗部, (211), (121), (211), (121)面がやや小 さい丸い暗部としてみられ, エッジは線 状の暗部に反転している。(111), (111) 面は三角状にやや暗い。 第11図(c)は さらにエミッタを1,330°Kで60秒間加熱 した場合の W 像であるが, (110)面がだ 円状の非常に大きな暗部としてみられ, エッジが明るい。(211), (121), (211), (121) 面もやや大きな丸い暗部に変わっ ている。(100), (010)面は明るく, (111), (111)面は非常に明るい。第11図(d)は さらにエミッタを 1,490°K で 60秒間加熱 した場合であるが、(110)面の暗部や (211), (121), (211), (121)面の暗部の 形状は **第11** 図 (c)と変わらないが、そ れぞれの結晶面のエッジが暗く反転して いる。また(100), (010)面の明るさも第 11図(c)と変わらないが、そのまわりに (611), (161), (611), (161) 面があら われている。(111), (111)面はやや暗い スポット状の結晶面としてみとめられ た。第11図(e)はエミッタを1,640°Kで 60秒間加熱したのちのパターンである

が、(110) 面がやや小さい丸い暗部としてみられ、(211)、(121)、(21 $\overline{1}$)、(12 $\overline{1}$)の面は大きい丸い暗部としてみられる。(111)、(11 $\overline{1}$)面がスポット状にわずかに認められるが、(100)、(010)面のまわりが四角状(各頂点の明部はそれぞれ (611)、(6 $\overline{1}$)、(6 $\overline{1}$) 、(6 $\overline{$

第1表 W エミッタの再生条件と電子放射像の変化

記号	エミッタの再生条件	1μAの I _F を与 える電圧 (仕事関数)*3	(110) 面	(211), (121), (211), (121) 面	(100), (010) 面	(111), (111) 面	その他の結晶面
a	5~6×10 ⁻⁹ mmHg 中で 1μAの I _F を流 して 3 時間動作後	6 kV (6.2 eV)	スポット状にわずかに 暗く,エッジが非常に 明るい。	小さいスポット状の暗 部。	小さいスポット状の暗部,近辺はわずかに明るい。	やや暗い。	(321), (312), (231), (132), (32ī), (312), (23ī), (13ē) 面が線状に明るい。
b	1,180°K,60秒加熱	5.75 kV (5.84 eV)	やや大きい 丸い暗部	小さい丸い暗部。	小さいスポット状の暗 部,近辺はわずかに明 るい。	三角上やや暗い。	同上の結晶面は線上に暗い。
с	1,330°K,60 秒加熱	5.05 kV (5.35 eV)	非常に大きいだ円状の 暗部。 エッジが明るい。	大きいややだ円状の暗 部。	明部,近辺はやや円形の明部。	ピット状に非常に明るい。	
d	1,490°K,60 秒加熱	4.8 kV (5.17 eV)	非常に大きいだ円状の 暗部。 ただしエッジが暗い。	大きいややだ円状の暗 部。ただしエッジが暗 い。	明部,近辺はやや四角状の明部。	ピット状に非常に明る い。中央に (111), (111) 面がスポット状 にみられる。	(611),(161),(61ī),(16ī) 面がスポット状にみられる。
e	1,640°K,60 秒加熱	4.45 kV(4.92 eV)	やや大きい丸い暗部。	大きい丸い暗部。	明部,近辺は四角状の 明部。	わずかにスポット状の 暗部。	(611),(161),(611),(161) 面が明る ~反転している。
f	1,730°K,60秒加熱	4.2 kV (4.7 eV)	大きい暗部。	大きいだ円状の暗部。	スポット状の暗部近辺 は非常に明るい。	三角状の明部。	(611),(161),(61ī),(16ī) 面が明る く反転している。(301),(310), (30ī),(130),(031),(03ī)面は暗い。
g	1,800°K,60 秒加熱	4.0 kV(4.58 eV)	やや四角状の暗部。	丸い暗部。エッジが非 常に暗い。	スポット状の暗部近辺 は非常に明るい。	三角状の明部。	(611),(161),(61ī),(16ī) 面が明る く反転している。(301),(310), (30ī),(130),(031),(03ī)面は暗い。
h	1,970°K,60秒加熱	3.95 kV(4.55 eV)	大きい四角状の暗部。	小さい丸い暗部。エッ ジがわずかに暗い。	スポット状の暗部近辺 は非常に明るい。	すみの丸い三角状の明 部。	
i	2,140°K,60秒加熱	3.92 kV (4.53 eV)	清浄タングステン像	清浄タングステン像	清浄タングステン像	清浄タングステン	清浄タングステン像

*8: () 内は計算値 計算の概略は次のとおり。

(3a)式は比較的よい近似を与えるが、FおよびIが F_0 、 I_0 と大きく異なる場合に誤差が大きくなる。

日

(161), (161), (161), (161)面に対応する)に明るい。第11 図(f)はエミッタを1,730°Kで60秒間加熱した場合であるが、Xパターンの典型的な電子放射像が得られた。第11 図(g)はエミッタを1,800°Kで60秒間加熱したのちのパターンである。(110)面がやや丸く、(211)、(121)、(211)、(121)面のまわりがやや暗い。ほかはほとんど清浄 W 像に近いパターンになっている。第11 図(h)、第11 図(i)はさらにエミッタをそれぞれ1,970、2,140°Kで60秒間加熱したのちのW像であるが、清浄W像が得られた。

このように管内残留ガスの吸着によりエミッタの ϕ が変化し、エミッション電流が変化した場合には2,000°K以上の加熱により再び安定に動作する清浄Wエミッタが得られることが明らかになった。なお、再生条件によってどのようにW像が変化したかを第1表にまとめて示した。

3.5 電界放出形冷陰極の2極管への応用

前節までは主としてミューラ形電顕を応用したWエミッタの成形 条件とエミッション電流の安定性について検討してきたが、これを 2極管に応用した結果について述べる。試作した2極管の構造は第 3図に示したが、排気は2.3にしたがって行ない、エミッタの成形 は10⁻⁸mmHg 以下の超高真空中で、1,800°K 15 分→2,140°K 15 分→ 2,470°K 5分のスケジュールで行なった。この2極管の電圧電流特 性は第12回にみられるとおりよく直線関係を満足している。次に 純ニッケルをプレート材として使用した場合について、エミッショ ン電流に及ぼすプレート構造、動作条件の影響を調べた。プレート 構造は茶筒形がよく,動作電圧が 4~5kV 程度では 400 µA のエミ ッション電流を安定に流せる。しかし7kV以上になると10μAの エミッションでもエミッション電流は時間の経過とともに変化する ことが明らかになった。もちろん,動作中の真空度が重要であるが, 4~5kV程度の動作電圧でも真空度が~10-8mmHgの場合にはエミ ッション電流は時間の経過とともに変化することがわかった。結果 の一例を第13図に示す。このほかプレート材(W, Ti)の影響も調 べたが、われわれの実験範囲内では差は認められなかった。

4. 実験結果に対する検討

電界放出形冷陰極が安定で、しかも長寿命に動作するためには高温でフラッシングした清浄Wエミッタを動作中も常に清浄に保つ必要がある。そのためにはエミッタの ϕ の変化の原因になる管内残留ガスの影響の少ない超高真空中で動作させる必要があることは前節までに詳述した。ここで前節におけるWエミッタの成形条件とエミッション電流の時間的変化に関する実験結果を吸着ガス量の増加現象および仕事関数の変化として検討を加えてみる。まず一定の真空度においてWエミッタに吸着される管内残留ガスの分子数について概算すると、W表面に対する付着確率を約 $0.5^{(13)}$ とした場合に管内圧力が 1×10^{-8} mmHg,管内温度が 288° Kのとき、吸着に要する時間は O_2 の場合約500秒, H_2 の場合約1300秒となる。したがってわれわれの行なった実験範囲内ではWエミッタへの残留ガスの吸着量が多いので、それにともない仕事関数の変化も大きいものと考えられる。ところで、吸着ガス量の少ない範囲内では仕事関数の変化と吸着ガス量の間に(1)式が成立する。

$$\Delta \phi = \mathbf{k} \cdot N_{\text{ads}} \dots (1)$$

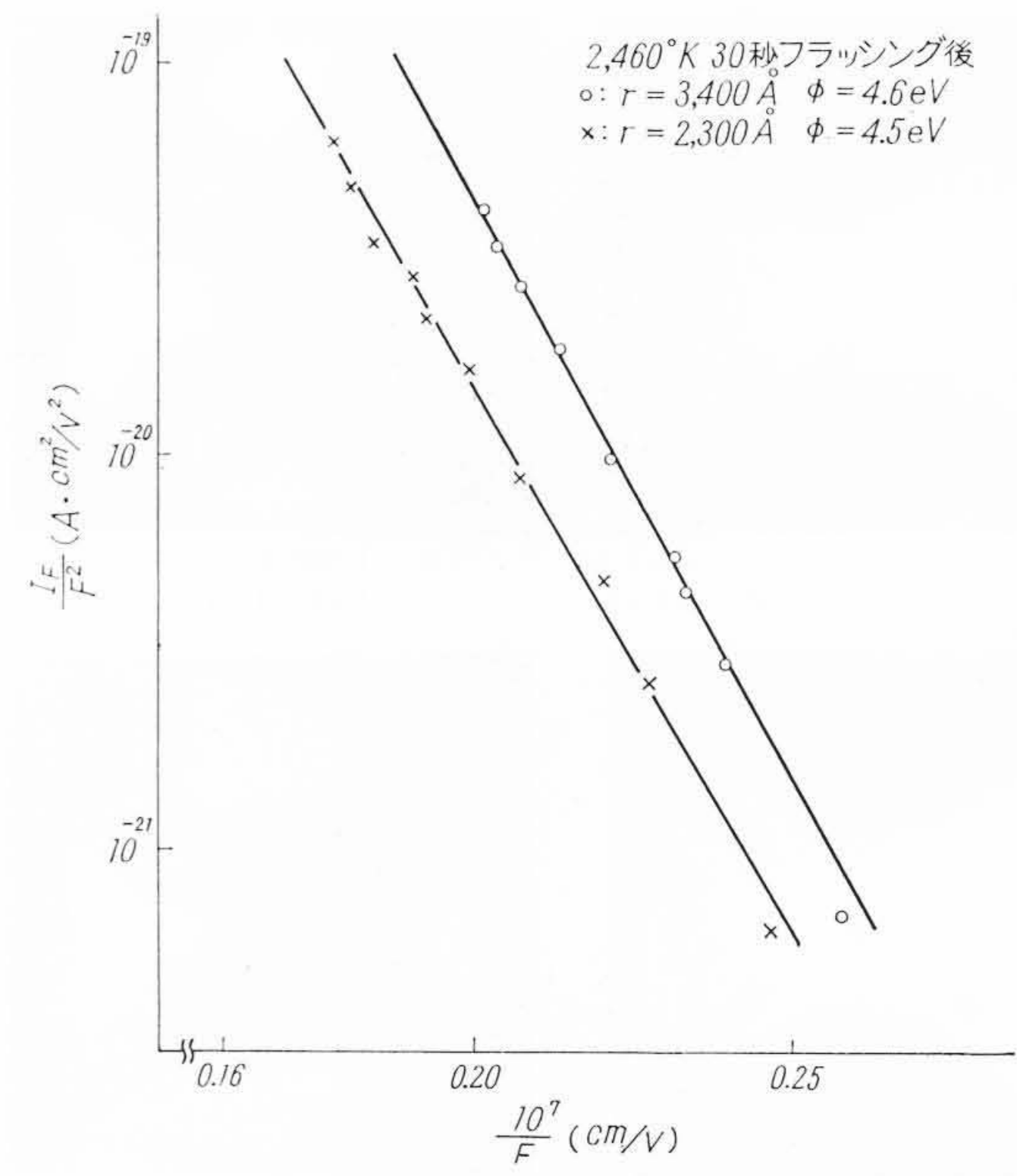
k: 比例定数

N_{ads}: 吸着ガス量

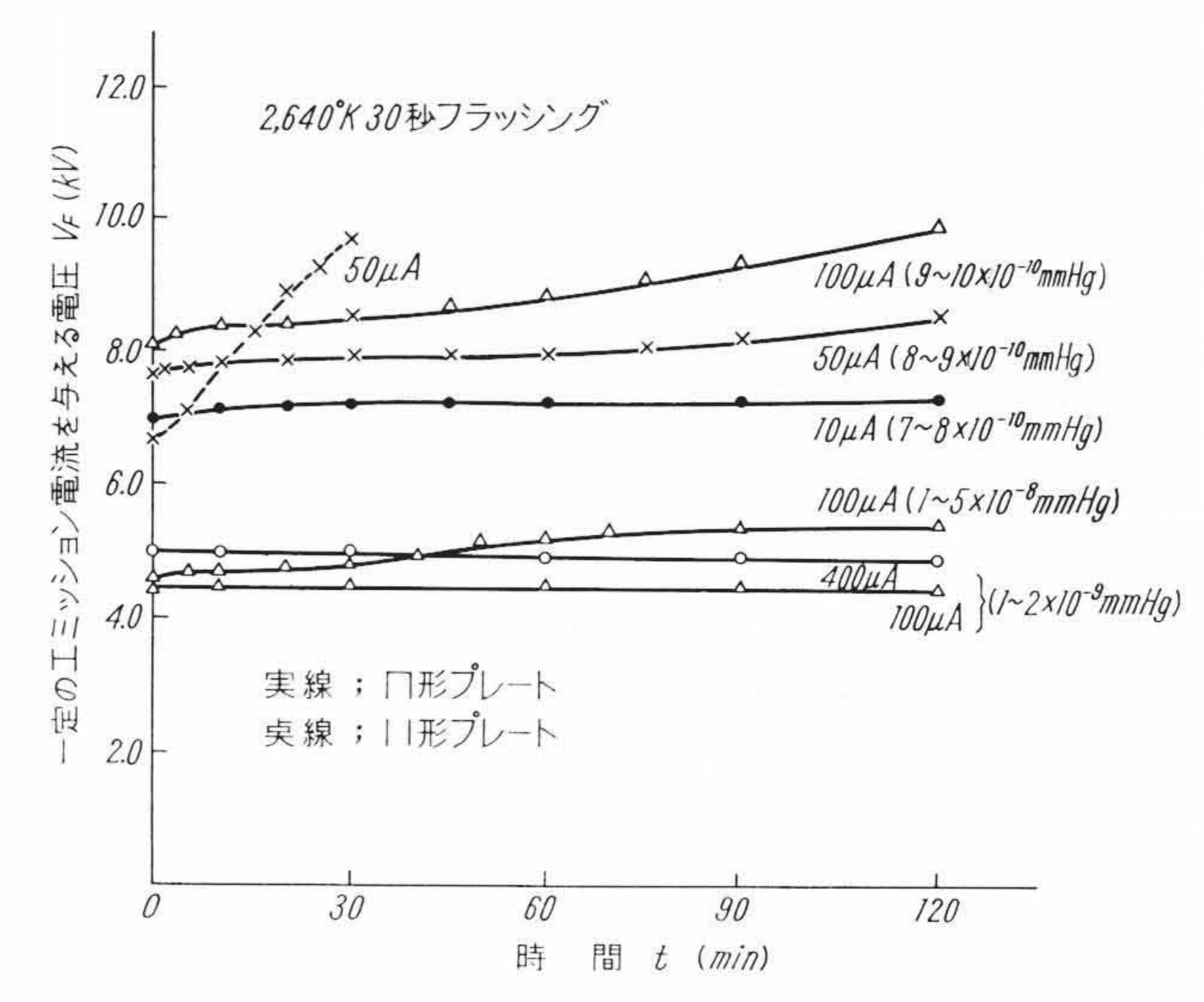
一方、t の小さい範囲では α (気体のW表面への衝突分子数密度)、S(付着確率)ともに一定と考えられるので、

$$N_{\text{ads}} = \int_0^t \alpha \cdot S \cdot dt = \alpha \cdot S \cdot t \dots (2)$$

が得られる。さらに気体運動論より



第12図 電界放出形2極管の電圧電流特性 (室温)



第13図 エミッション電流の時間的変化

$$\alpha = \frac{1}{4} n v = \frac{1}{4} \cdot \frac{N_a vp}{R T} \dots (3)$$

ただし N_a : アボガドロ数

R: 気体定数

T: 管内温度

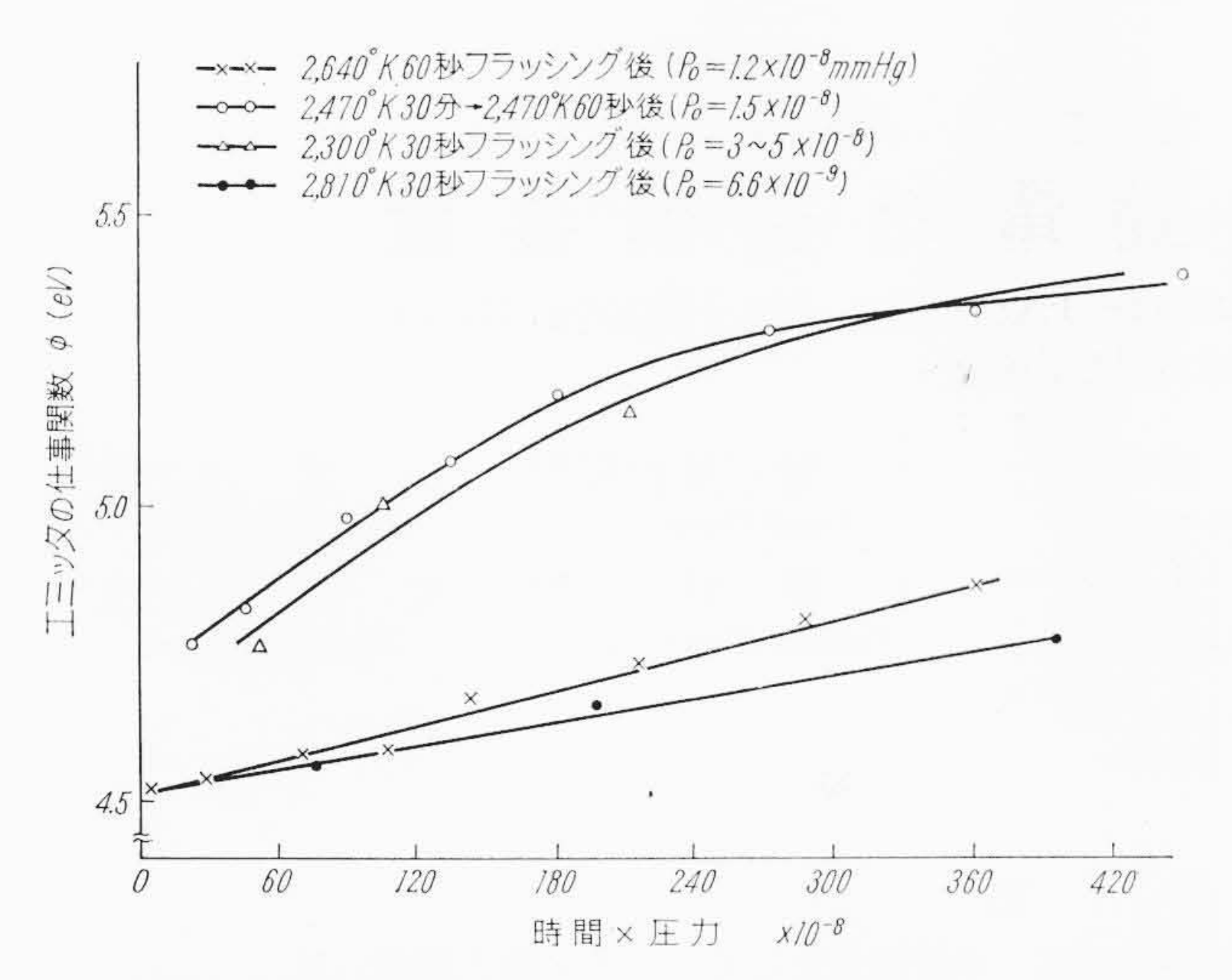
p: 管内圧力

v: 気体分子の平均の運動速度

が成立するが、(1)~(3)式より

$$\Delta \phi = A(T)k \cdot S \cdot p \cdot t \qquad (4)$$

$$\text{total} \quad A(T) = \frac{1}{A} \cdot \frac{N_a}{R} \cdot \frac{v(T)}{T}$$



第14図 吸着ガス量とエミッタの仕事関数の変化(計算値)

算結果によれば

高温フラッシングの場合 $A(T)kS \approx 0.7 \sim 1 \times 10^5$ 低温フラッシングの場合 $A(T)kS \approx 3 \times 10^5$

となり、フラッシング温度によって顕著な差を示している。この差異の生ずる理由として考えられることは、(1)フラッシング条件によってフラッシング後のWェミッタへのガスの付着確率が変化するのではないか、(2)前述までのk、Sなどは巨視的な値であり、結晶面や方向性などは考慮されていない。しかし実際にはガス吸着は結晶面によっても著しく異なっている。したがって方向性とか結晶面による違いなどを解析に入れる必要がある。(3)フラッシング直後のWェミッタ近傍の圧力が異なるのではないかなどいろいろ考えられるが、これらの詳細は今後の研究課題である。

5. 結 言

ミューラ形電顕を応用して電界放出形冷陰極用Wエミッタの成形 条件とエミッション電流の安定性について検討してきたが、実験結 果を要約すると下記のとおりである。

- (1) エミッション電流の安定する清浄Wエミッタは 10^{-8} mmHg 以下の超高真空中で,しかも2,300°K以上の高温で成形すると得られる。
- (2) エミッション電流は管内真空度を向上させ、フラッシング 温度を高くすれば安定する。
- (3) エミッション電流に及ぼすガスの影響を調べたが、 O_2 ガス が特に顕著であり、 CO_2 、 H_2 ガスがそれに次いでいる。
- (4) Wエミッタの再生条件は 2,000°K 以上のフラッシングが有効である。
- (5) 電界放出形冷陰極を 2 極管に応用したが、プレートは茶筒形が良く、動作真空度が $1\sim2\times10^{-9}$ mmHg以下であれば $4\sim5$ kVの動作電圧で安定なエミッションが長時間にわたって得られる。

最後に、本研究実施に際して茂原工場県部長からご指導を賜った。ここに深く感謝の意を表する次第である。

参 考 文 献

- (1) R. W. Wood: Phys. Rev., 51 (1897)
- (2) W. P. Dyke: IRE. Trans. Milt. Elect., MIL-4, 38 (1960)
 E. E. Martin et al: J. Appl. Phys., 31, 782 (Mar. 1960)
 W. P. Dyke et al: J. Appl. Phys., 31, 790 (Mar. 1960)
- (3) D. Alpert: J. Appl. Phys., 24, 860 (1953)
- (4) Electronics News, Jan., 26 (1959) 応物: 冷陰極特集 30 (Mar. 1961)
- (5) E. Sugata and S. Nakamura: J. J. Appl. Phys., 1, 50(1962) 岡田,青木: 電気通信学会全国大会予稿 295 (昭 36)
- (6) 北川, 梨本: 応物 30, 338 (Mar. 1961)
- (7) W. P. Dyke et al: J. Appl. Phys., 24, 570 (Mar. 1953)
- (8) M. Benjamin and R. O. Jenkins: Proc. Roy. Soc., 176A, 262 (1940)
- (9) E. W. Müller: Handbuck der Physik., 21, 201 (1956)
- (10) R. Gomer: J. Chem. Phys., 27, 1363 (1957)
- (11) W.P.Dyke and W.W.Dolan: Adv. Elec. and Elec. Phys., 8, 89 (1956)
- (12) 金: 真空 5, 435 (昭 37-11)
- (13) J. A. Becker and C. D. Hartman: J. Phys. Chem., 57, 153 (1953)
- (14) 佐々木: 化学反応論 143 (昭 28-5)

第5号

第 25 巻 日

次

目

立

- 長 崎 の 上 下 水
- ・お部屋に新しい季節を"くらしを変えるルームクーラ"
- ・新時代を迎えたテレビ技術
- 海を渡る日立「A·A諸国の発展のために(上)」
- ・冷水の科学が生んだ新しいケース"日立冷水ショーケース"
- ・小粒でタフな鋼板モートノ
- ・大 気 汚 染 防 止 と 集 じ ん 装 置
- ・電気機器の裏方さん"日立MPコンデンサ"

- ・形は小さくて性能は高い"小形構内自動交換機のエース AX-2D"
- 電線百話第28話: ガス圧で空どうをつぶす
- ・新しい照明施設:総理府庁舎の照明
- ・読者の声 〈ライトオペレータ〉について
- ・明日への道標: わが国最初の可視光ガスレーザ
- ・日立ハイライト:お台所に新時代をもたらす日立パネコン冷蔵庫
- 日 立 だ よ

発 行 所 日 立 評 論 社

取次店株式会社オーム社書店

東京都千代田区丸の内1丁目4番地振替口座東京71824番 東京都千代田区神田錦町3丁目1番地振替口座東京20018番